

Обзор алгоритмов аутентифицированного шифрования – финалистов конкурса CAESAR

Виктория Власова

Лаборатория Касперского

22 марта 2018

C
A
E
S
A
R

ompetition for
uthenticated
ncryption:
ecurity,
pplicability, and
obustness

ГГ.	Конкурс	Орг.	Описание
1997-2000	AES		блочные шифры
2000-2003	CRYPTREC		несколько категорий алгоритмов
2000-2003	NESSIE		несколько категорий алгоритмов
2004-2008	eStream		поточные шифры
2007-2012	SHA-3		функции хеширования
2013-2015	PHC		алгоритм хеширования паролей
2013-2018	CAESAR		схемы аутентифицированного шифрования
2016-?	PQC		алгоритмы с открытым ключом, устойчивые к квантовым атакам

Table 1: Криптографические конкурсы.

Система аутентифицированного шифрования со связанными данными (AEAD)

$$\Pi = (\mathcal{K}, \text{Enc}, \text{Dec}),$$

$\text{Enc}_{\mathcal{K}}(H, N, M)$ – алгоритм шифрования,

$\text{Dec}_{\mathcal{K}}(H, N, C, T)$ – алгоритм расшифрования,

$K \in \mathcal{K} \subseteq \{0, 1\}^k$ – секретный ключ,

$N \in \mathcal{N} \subseteq \{0, 1\}^n$ – одноразовый вектор (nonce),

$T \in \mathcal{T} \subseteq \{0, 1\}^t$ – имитовставка,

$H \in \mathcal{H} \subseteq \{0, 1\}^*$ – связанные данные (associated data),

$M \in \mathcal{M} \subseteq \{0, 1\}^*$ – открытый текст,

$C \in \mathcal{C} \subseteq \{0, 1\}^*$ – шифртекст.

$$\text{Enc} : \mathcal{K} \times \mathcal{N} \times \mathcal{H} \times \mathcal{M} \rightarrow \mathcal{C} \times \mathcal{T},$$

$$\text{Dec} : \mathcal{K} \times \mathcal{N} \times \mathcal{H} \times \mathcal{C} \times \mathcal{T} \rightarrow \mathcal{M} \cup \{\perp\}.$$

Система аутентифицированного шифрования со связанными данными (AEAD)

$$\text{Enc}_K(H, N, M) = (C, T),$$

$$\text{Dec}_K(H, N, C, T) = \begin{cases} M, & \text{если пара } (C, T) \text{ аутентифицирована,} \\ \perp, & \text{в противном случае.} \end{cases}$$

$$\text{Dec}_K(H, N, \text{Enc}_K(H, N, M)) = M \text{ для любых } (K, H, N, M).$$

Рассматриваемые свойства алгоритмов

- Возможность распараллеливания зашифрования/расшифрования.
- «Online» (результат обработки блока данных не зависит от последующих блоков).
- Инволютивность.
- Возможность вычисления промежуточных кодов аутентификации.
- «Provable security» (прямая зависимость между стойкостью алгоритма и лежащего в его основе базового примитива).
- Стойкость при повторном использовании одноразового вектора.
- Отсутствие возможности получить информацию о результате расшифрования, если шифртекст не прошел аутентификацию алгоритмом.

Варианты использования

- 1 среды с ограниченными ресурсами
 - для реализации на небольшой аппаратной области и/или при помощи небольшого количества кода для 8-разрядных процессоров
- 2 высокопроизводительные приложения
 - для эффективной реализации на 64-битных ЦП серверов и/или выделенном оборудовании
- 3 допустимо стойкие при нарушении рекомендаций к использованию ("Defense in depth")
 - обеспечение целостности при повторном использовании одноразового вектора

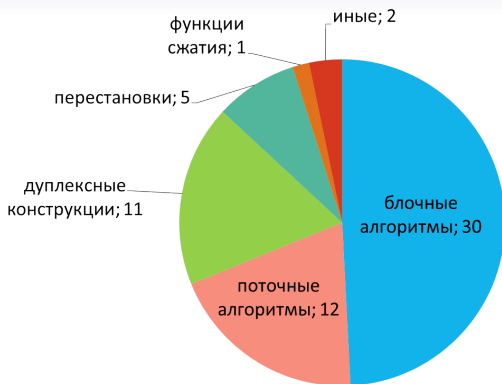


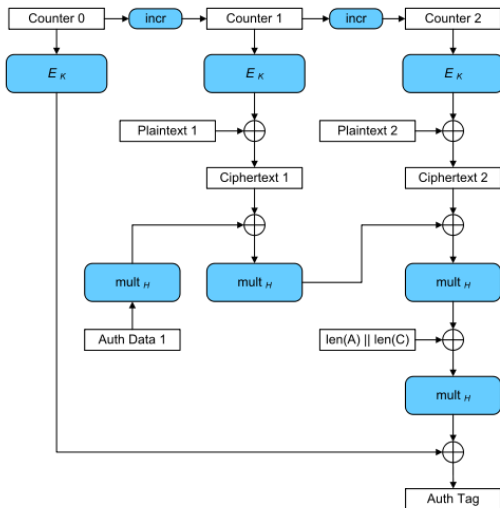
Figure 1: Базовые примитивы [AFL16]

[AFL16] Abed, F., Forler, C., Lucks, S.: General classification of the authenticated encryption schemes for the CAESAR competition. Computer Science Review (2016)

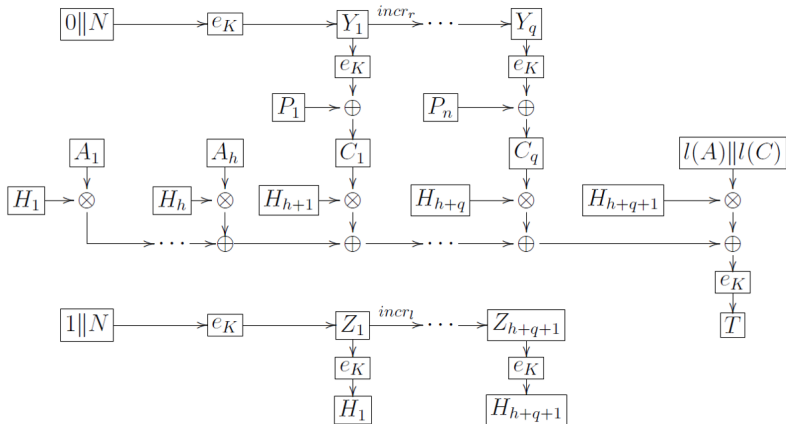


Figure 2: Участники 3 раунда

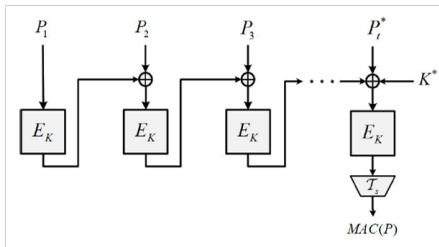
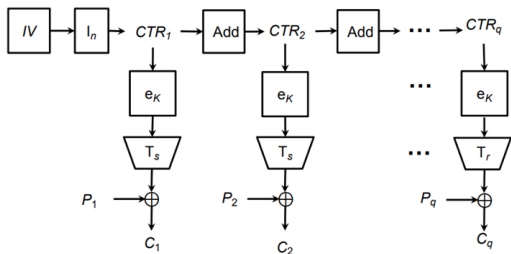
Вне конкурса: GCM



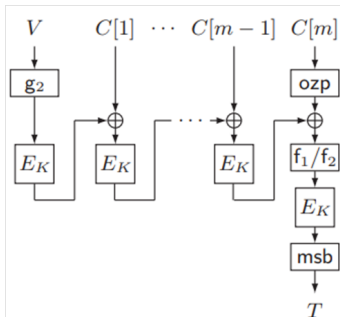
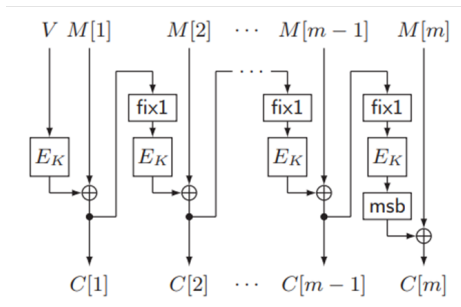
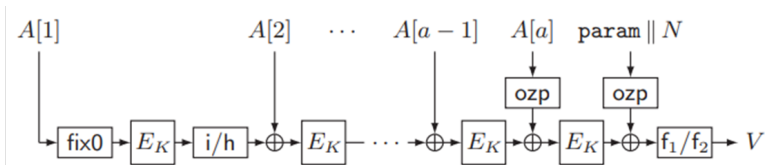
Вне конкурса: MGM



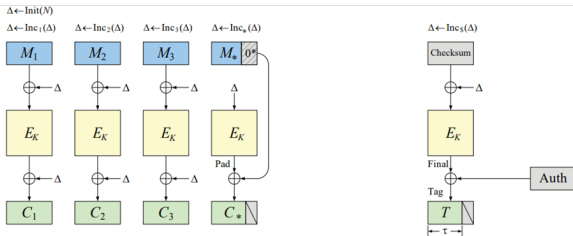
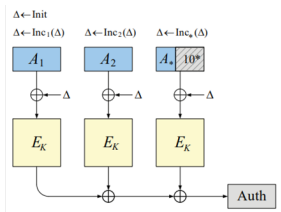
Вне конкурса: 8 бит



CLOC&SILC

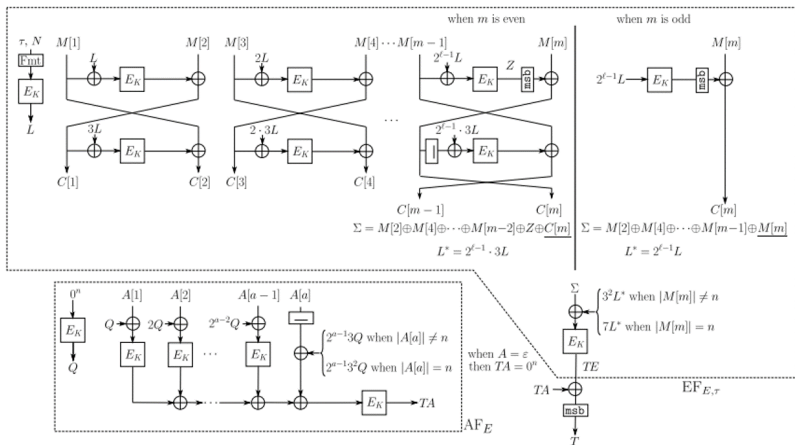


OCB

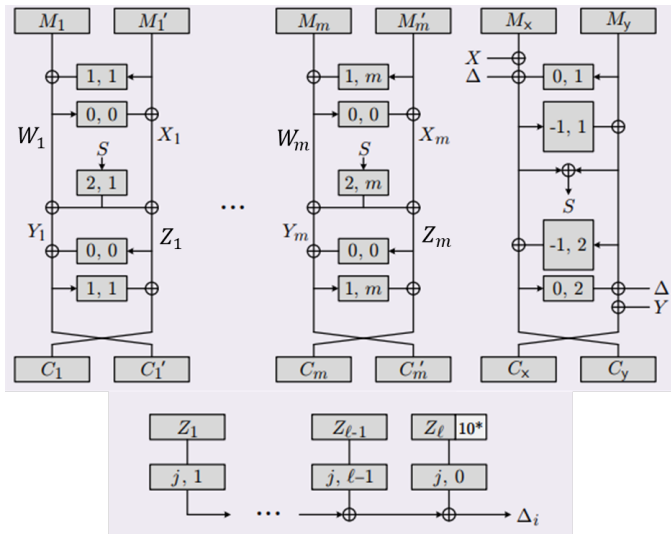


* Идея настраиваемого блочного шифра (tweakable block cipher)

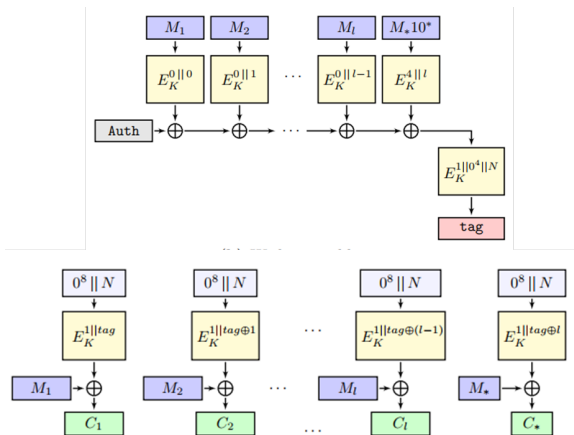
OTR



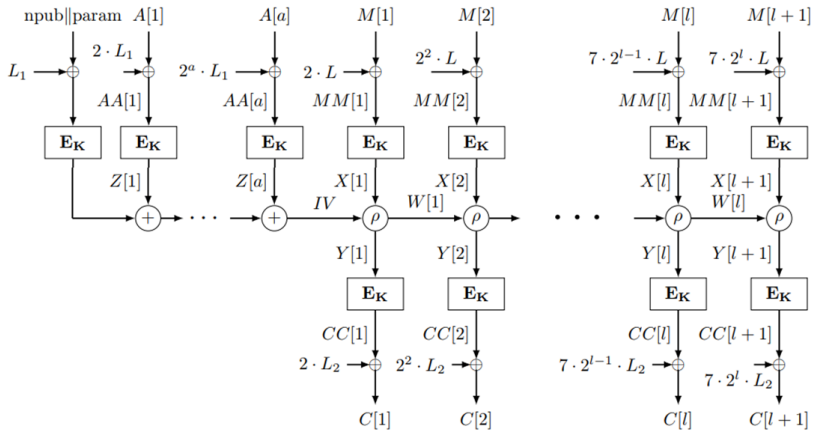
AEZ



Deoxys



COLM



Ketje, Keyak

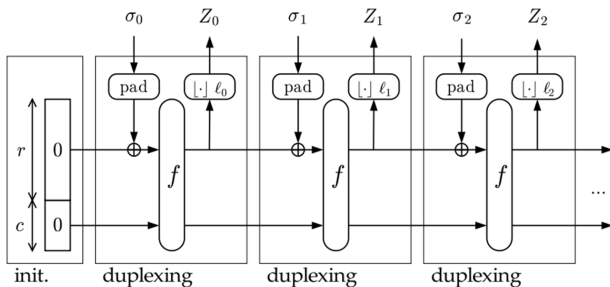


Figure 3: Дуплексная конструкция

NORX, Ascon

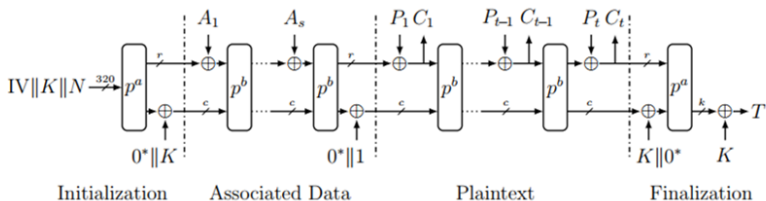
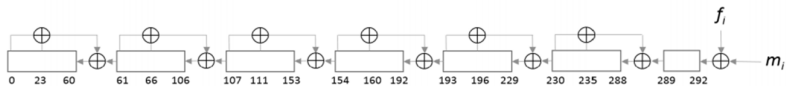


Figure 4: Схема алгоритма Ascon

ACORN



Другие системы на основе поточных алгоритмов

$S_i = (S_i[1], \dots, S_i[q])$ – внутреннее состояние из q слов

1 Инициализация

$$(S[1], \dots, S[q]) = \text{Init}(K, N, \text{parameters})$$

$$S_{i+1} = \text{StateUpdate}(S_i, f(K, N)), \quad i = 1, \dots, C_{\text{Init}}$$

2 Обработка связанных данных

$$S_{i+1} = \text{StateUpdate}(S_i, AD_i), \quad i = 1, \dots, C_{AD}$$

3 Зашифрование

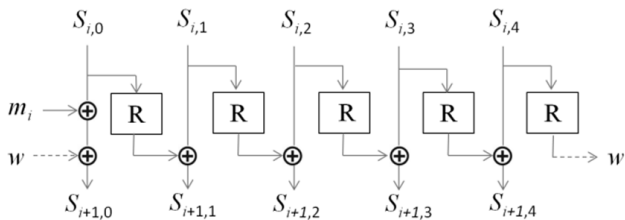
$$\left. \begin{aligned} C_i &= M_i \oplus (S_i[a] \oplus S_i[b] \oplus (S_i[c] \& S_i[d])) \\ S_{i+1} &= \text{StateUpdate}(S_i, M_i) \end{aligned} \right\} i = 1, \dots, C_M$$

4 Вычисление имитовставки

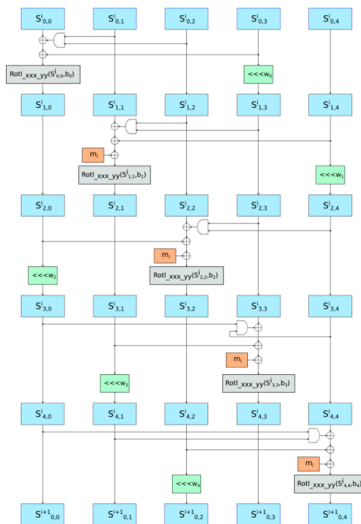
$$S_{i+1} = \text{StateUpdate}(S_i, M_i), \quad i = 1, \dots, C_{\text{Final}}$$

$$T = \text{TagGen}(S[1], \dots, S[q])$$

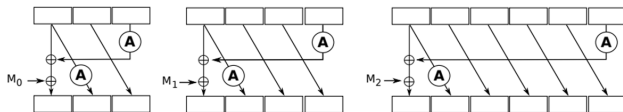
AEGIS



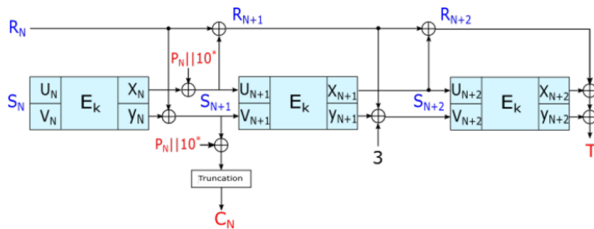
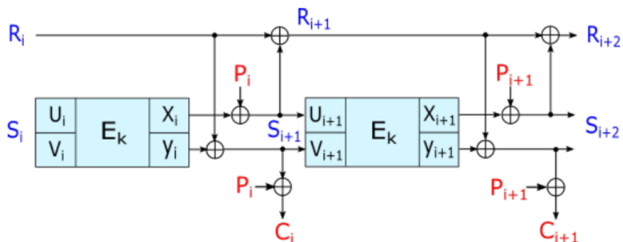
MORUS



Tiaoxin



JAMBU









Производительность

Результаты тестирования производительности на ПЛИС (Xilinx Virtex-6) [ATHENa]:

Algorithm	Throughput (Mbps)	Area (LUTs)	Throughput/Area (Mbps/LUT)
MORUS	49,556	3,397	14,5
AEGIS	70,934	3,46	9,3
ACORN	11,304	508	9,1
TIAOXIN	52,796	7,112	7,4
Ketje	24,843	1,238	5,5
NORX	24,519	2,921	5,2
Ascon	5,085	1,27	3,2
AES-OTR	7,708	3,492	1,6
SILC	4,048	3,079	1,3
Keyak	12,6	6,223	1,2
JAMBU-AES	2,008	1,84	1,1
Deoxys	2,882	3,175	0,91
JAMBU-SIMON	939	1,048	0,89
CLOC	2,979	3,143	0,74
OCB	3,109	4,254	0,73
AEZ	3,271	4,73	0,69
COLM	3,109	7,143	0,39

[ATHENa] George Mason University: ATHENa: Automated Tools for Hardware Evaluation. (2017)

Победители

- 1 среды с ограниченными ресурсами
 - ACORN (поточный, )
 - Ascon (поточный, )
- 2 высокопроизводительные приложения
 - AEGIS (поточный, )
 - MORUS (поточный, )
 - OCB (режим БШ, )
- 3 допустимо стойкие при нарушении рекомендаций к использованию ("Defense in depth")
 - COLM (режим БШ, )
 - Deoxys-II (режим БШ, )

Спасибо за внимание!

Вопросы?